

ESTRUCTURA DE LA MATERIA 4

PRIMER CUATRIMESTRE 2021

PRÁCTICA 3: SIMETRÍA APROXIMADAS EN MODELOS DE HADRONES: $SU(2)$

A diferencia de la simetría relativista, que es una simetría exacta del modelo estandar, las simetrías que consideraremos en esta practica y la siguiente son simetrías aproximadas que fueron infiriéndose a partir de observaciones de procesos donde domina la interacción fuerte y que en el modelo estandar podrán verse explícitamente en el Lagrangiano. La primera de estas simetrías corresponde al grupo de isospin que corresponde matemáticamente al conocido como $SU(2)$.

Si yo pudiera recordar el nombre de todas esas partículas, habría sido botánico.

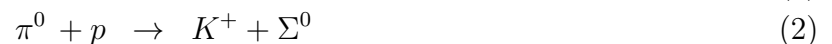
Enrico Fermi

1.  Usando invariancia de isospin en interacciones fuertes, muestre que las secciones eficaces verifican

$$a. \frac{\sigma(pp \rightarrow \pi^+d)}{\sigma(np \rightarrow \pi^0d)} = 2 \quad b. \sigma(dd \rightarrow \alpha\pi^0) = 0.$$

donde α tiene isospin cero.

2. El Σ^{*0} puede decaer en $\Sigma^-\pi^+, \Sigma^0\pi^0, \Sigma^+\pi^-$. A partir de la conservación del isospin en las interacciones fuertes indique qué porcentaje espera en cada canal. Buscando las masas de cada partícula, verifique que el proceso es permitido por las leyes de conservación de momento y energía.
3. Encuentre el cociente entre las secciones eficaces de las reacciones



suponiendo en estos casos que la evolución favorece ‘el canal’ de isospin 1/2 (luego suponga el de 3/2).

4.  Al estudiar la reacción $K^-p \rightarrow \Sigma^+\pi^-$ en función de la energía se observa la formación de una resonancia(*) a 1660 MeV en el c.m. ¿Qué se puede decir de los números cuánticos de ésta? Muestre que el isospin no queda unívocamente determinado. Ahora vea que si observa una resonancia a la misma energía pero siendo el estado final $\Sigma^0\pi^0$ (y mismo estado inicial) ahora sí permite decidir entre las diversas posibilidades. (*)La resonancia en este caso se asocia a un estado con isospin definido.